

PONTIFÍCIA UNIVERSIDADE CATÓLICA DE MINAS GERAIS
Engenharia de Computação

Gabriel Luís Pinto Cecconello
Paula Cristina Talim Gonçalves
Rafael Vicente Souza e Paula

UNIDADE LÓGICA ARITIMÉTICA EM VHDL

Belo Horizonte

2025

Gabriel Luís Pinto Cecconello
Paula Cristina Talim Gonçalves
Rafael Vicente Souza e Paula

UNIDADE LÓGICA ARITIMÉTICA EM VHDL

Trabalho apresentado à disciplina de Sistemas Reconfiguráveis da Pontifícia Universidade Católica de Minas Gerais como requisito parcial para aprovação na disciplina.

Orientador: Prof. Francisco Garcia

Belo Horizonte

2025

Gabriel Luís Pinto Cecconello
Paula Cristina Talim Gonçalves
Rafael Vicente Souza e Paula

UNIDADE LÓGICA ARITIMÉTICA EM VHDL

Trabalho apresentado à disciplina de Sistemas Reconfiguráveis da Pontifícia Universidade Católica de Minas Gerais como requisito parcial para aprovação na disciplina.

Prof. Francisco Garcia - PUC Minas (Orientador)

Belo Horizonte, 29 de abril de 2025.

RESUMO

Este trabalho apresenta o projeto e a implementação de uma Unidade Lógica e Aritmética (ULA) de 8 bits, utilizando a linguagem de descrição de hardware VHDL. A ULA foi desenvolvida para executar 16 operações distintas, englobando operações aritméticas, lógicas, de rotação e de deslocamento, de acordo com uma seleção de operação de 4 bits. O projeto foi elaborado exclusivamente com código concorrente, garantindo a natureza totalmente combinacional do circuito, sem a utilização de latches ou flip-flops. Para a simulação e validação do funcionamento da ULA, foi utilizado o ambiente de desenvolvimento Quartus II, versão 9.1sp2. Foram realizados casos de teste específicos para cada operação, comprovando que a ULA projetada atende corretamente às especificações, com a correta geração dos sinais de saída — resultado (r), carry/borrow (c_out), sinal de zero (z) e overflow (v) — conforme as funções exigidas. A metodologia adotada permitiu a análise do comportamento do circuito de forma prática e eficiente, servindo de base para o aprofundamento no desenvolvimento de projetos digitais em VHDL.

Palavras-chave: ULA; VHDL; projeto digital; simulação; Quartus II.

ABSTRACT

This work presents the design and implementation of an 8-bit Arithmetic and Logic Unit (ALU) using the Hardware Description Language (HDL) VHDL. The ALU was developed to perform 16 distinct operations, covering arithmetic, logical, rotation, and shifting operations, according to a 4-bit operation selection. The design was exclusively created with concurrent code, ensuring the fully combinational nature of the circuit, without the use of latches or flip-flops. For simulation and validation of the ALU functionality, the Quartus II development environment, version 9.1sp2, was used. Specific test cases were performed for each operation, confirming that the designed ALU correctly meets the specifications, generating the correct output signals — result (r), carry/borrow (c_out), zero flag (z), and overflow (v) — as required by the functions. The methodology adopted enabled practical and efficient analysis of the circuit's behavior, serving as a foundation for further development in digital design projects using VHDL.

Keywords: ALU; VHDL; digital design; simulation; Quartus II.

LISTA DE QUADROS

Quadro 1 – Variáveis de entradas do sistema.....	9
Quadro 2 - Variáveis de saída do sistema.....	10
Quadro 3 - Operações da ULA.....	11
Quadro 4 - Casos de teste para ADD.....	16
Quadro 5 - Casos de teste para ADDC.....	18
Quadro 6 - Casos de teste para SUB.....	20
Quadro 7 - Casos de teste para SUBC.....	21
Quadro 8 - Casos de teste para AND.....	23
Quadro 9 - Casos de teste para OR.....	25
Quadro 10 - Casos de teste para XOR.....	27
Quadro 11 - Casos de teste para NOT.....	29
Quadro 12 - Casos de teste para RL.....	31
Quadro 13 - Casos de teste para RR.....	33
Quadro 14 - Casos de teste para RLC.....	35
Quadro 15 - Casos de teste para RRC.....	37
Quadro 16 - Casos de teste para SLL.....	39
Quadro 17 - Casos de teste para SRL.....	41
Quadro 18 - Casos de teste para SRA.....	43
Quadro 19 - Casos de teste para PASS_B.....	45

LISTA DE FIGURAS

Figura 1 - Bibliotecas utilizadas e entidade definida no programa.	13
Figura 2 - Arquitetura e implementação da ULA.....	14
Figura 3 - Cálculo de overflow no programa.....	14
Figura 4 - Código fonte da ULA com a linguagem VHDL.	15
Figura 5 – Simulação em forma de onda digital da operação ADD.	17
Figura 6 - Simulação em forma de onda digital da operação ADDC.	19
Figura 7 - Simulação em forma de onda digital da operação SUB.....	20
Figura 8 - Simulação em forma de onda digital da operação SUBC.	22
Figura 9 - Simulação em forma de onda digital da operação AND.....	24
Figura 10 - Simulação em forma de onda digital da operação OR.....	26
Figura 11 - Simulação em forma de onda digital da operação XOR.....	28
Figura 12 - Simulação em forma de onda digital da operação NOT.	30
Figura 13 - Simulação em forma de onda digital da operação RL.....	32
Figura 14 - Simulação em forma de onda digital da operação RR.	34
Figura 15 - Simulação em forma de onda digital da operação RLC.	36
Figura 16 - Simulação em forma de onda digital da operação RRC.	38
Figura 17 - Simulação em forma de onda digital da operação SLL.....	40
Figura 18 - Simulação em forma de onda digital da operação SRL.	42
Figura 19 - Simulação em forma de onda digital da operação SRA.....	44
Figura 20 - Simulação em forma de onda digital da operação PASS_B.....	46

LISTA DE TABELAS

Tabela 1 - Resultados do teste da operação ADD.....	17
Tabela 2 - Resultados do teste da operação ADDC.	19
Tabela 3 - Resultados do teste da operação SUB.....	21
Tabela 4 - Resultados do teste da operação SUBC.	22
Tabela 5 - Resultados do teste da operação AND.....	24
Tabela 6 - Resultados do teste da operação OR.....	26
Tabela 7 - Resultados do teste da operação XOR.	28
Tabela 8 - Resultados do teste da operação NOT.....	30
Tabela 9 - Resultados do teste da operação RL.....	32
Tabela 10 - Resultados do teste da operação RR.....	34
Tabela 11 - Resultados do teste da operação RLC.	36
Tabela 12 - Resultados do teste da operação RRC.	38
Tabela 13 - Resultados do teste da operação SLL.....	40
Tabela 14- Resultados do teste da operação SRL.	42
Tabela 15 - Resultados do teste da operação SRA.....	44
Tabela 16 - Resultados do teste da operação PASS_B.	46

SUMÁRIO

1	INTRODUÇÃO	9
2	DESENVOLVIMENTO	9
2.1	Metodologia.....	9
2.1.1	<i>Programa desenvolvido da ULA em VHDL</i>	<i>13</i>
2.2	Testes, Resultados e Análises	15
3	CONSIDERAÇÕES FINAIS	47
	REFERÊNCIAS.....	48

1 INTRODUÇÃO

A linguagem VHSIC-HDL, ou apenas VHDL, tem sua sigla originária da expressão “Very High Speed Integrated Circuit Hardware Description Language” ou, traduzindo, “Linguagem de Descrição de Hardware de Circuito Integrado de Altíssima Velocidade” (HEXTSEL, 2003). Apesar de haver muitas semelhanças com linguagens de programação, como a linguagem C, ela foi criada com o objetivo de descrever uma estrutura de um circuito integrado, indicando as interligações dos componentes eletrônicos ou especificando a função dos elementos (HEXTSEL, 2003).

Sendo assim, a fim de explorar os recursos da linguagem VHDL, foi proposto um projeto para desenvolver uma Unidade Lógica Aritmética (ULA). Nesse sentido, a ULA é um componente pertencente à Unidade Central de Processamento (Central Processing Unit ou CPU) responsável por executar operações lógicas, aritméticas, de rotação e de deslocamento em um processador computacional (UNICAMP, 2016). Esse componente possui 3 entradas, sendo 2 para entrada dos dados para realizar a operação e 1 para determinar a operação a ser executada, e 1 saída, que é o resultado da operação (UNICAMP, 2016).

Dito isso, o projeto tem como objetivo desenvolver uma ULA com a linguagem VHDL, uma vez que o componente executa diversas operações, consequentemente, sendo necessário a utilização de várias estruturas disponíveis em VHDL para se descrever o hardware.

2 DESENVOLVIMENTO

2.1 Metodologia

Para a produção do projeto, foram realizadas algumas definições antes de se começar a desenvolver o programa. Nesse sentido, primeiramente, foram estipuladas as variáveis de entradas do sistema, as quais estão descritas no Quadro 1.

Quadro 1 – Variáveis de entradas do sistema.

Nome da variável	Tipo de dado que armazena	Funcionalidade
a_in [7...0]	Array de 8 bits	Entrada de dados “a”.
b_in [7...0]	Array de 8 bits	Entrada de dados “b”, utilizada em operações

		envolvendo dois operandos.
c_in	1 bit	Entrada “carry”, usada para algumas operações aritméticas e de rotação.
op [3...0]	Array de 4 bits	defini a operação a ser executada.

Fonte: Autoria própria (2025).

Após a definição das variáveis de entrada do sistema, foram definidas as variáveis de saída, sendo descritas no Quadro 2.

Quadro 2 - Variáveis de saída do sistema.

Nome da variável	Tipo de dados que armazena	Funcionalidade
r [7...0]	Array de 8 bits	Armazena o resultado da operação
c_out	1 bit	Saída de carry/borrow.
z	1 bit	Saída de zero. Sinaliza (z = 1) quando o resultado da operação é zero
v	1 bit	Saída de overflow. Sinaliza (v = 1) quando há um overflow nas operações de soma e subtração.

Fonte: Autoria própria (2025).

Por fim, foram estabelecidas as operações que a ULA executaria. A seguir está o Quadro 3, com as operações selecionadas. Nele contém o identificador da operação, representado pela variável de entrada “op [3...0]”, o Mnemônico, a operação executada e as possíveis saídas esperadas, considerando que a saída “z” sempre será 1, se o resultado for igual a zero, e 0, caso contrário.

Quadro 3 - Operações da ULA.

op [3...0]	Mnemônico	Operação	r	c_out	v
0000	ADD	Soma sem carry in	$a_in + b_in$	1, se houver carry no bit mais significativo	1, se ocorreu overflow
0001	ADDC	Soma com carry in	$a_in + b_in + c_in$	1, se houver carry no bit mais significativo	1, se ocorreu overflow
0010	SUB	Subtração sem carry in	$a_in - b_in$	1, se houver borrow no bit mais significativo	1, se ocorreu overflow
0011	SUBC	Subtração com carry in:	$a_in - b_in - c_in$	1, se houver borrow no bit mais significativo	1, se ocorreu overflow
0100	AND	AND lógico bit a bit	$a_in \text{ AND } b_in$	0	não interessa
0101	OR	OR lógico bit a bit	$a_in \text{ OR } b_in$	0	não interessa
0110	XOR	XOR lógico bit a bit	$a_in \text{ XOR } b_in$	0	não interessa
0111	NOT	Complemento (inverte todos os bits)	NOT a_in	0	não interessa
1000	RL	Rotação para esquerda	$a_in [6...0]$ concatenado com $a_in [7]$	$a_in [7]$	não interessa

1001	RR	Rotação para direita	a_in [0] concatenado com a_in [7...1]	a_in [0]	não interessa
1010	RLC	Rotação para esquerda através do carry	a [6...0] concatenado com c_in	a_in [7]	não interessa
1011	RRC	Rotação para direita através do carry	c_in concatenado com a_in [7...1]	a_in [0]	não interessa
1100	SLL	Deslocamento lógico para esquerda	a_in [6...0] concatenado com 0	a_in [7]	não interessa
1101	SRL	Deslocamento lógico para direita	0 concatenado com a_in [7...1]	a_in [0]	não interessa
1110	SRA	Deslocamento aritmético para direita	a_in [7] concatenado com a_in [7...1]	a_in [0]	não interessa
1111	PASS_B	By-pass B	b_in	0	não interessa

Fonte: Autoria própria (2025).

Desse modo, com a definição das operações e das variáveis de entrada e de saída, foi possível desenvolver a ULA. Para isso, foi utilizado o software Quartus na versão 9.1sp2, o qual fornece suporte para linguagem VHDL.

2.1.1 Desenvolvimento da ULA em VHDL

Nesta seção, será apresentada e explicada a implementação da Unidade Lógica e Aritmética (ULA) utilizando a linguagem VHDL. O código desenvolvido descreve o funcionamento interno da ULA, detalhando como são realizadas as operações aritméticas e lógicas sobre dois operandos de 8 bits, além do controle de sinais como o carry/borrow, o overflow e o zero. Cada parte do código será analisada a fim de evidenciar seu papel na execução das instruções definidas.

Inicialmente, foram definidas as bibliotecas que auxiliaram na execução do código e nossa entidade ALU. Foram incluídas para esse projeto duas bibliotecas padrões do IEEE, para manipulações de sinais lógicos e vetores. Já na entidade, foi definido os sinais de entrada e de saída, com base nos Quadros 1 e 2. Na Figura 1 exibe o trecho inicial do programa.

Figura 1 - Bibliotecas utilizadas e entidade definida no programa.

```
LIBRARY ieee;
USE ieee.std_logic_1164.all;
USE ieee.std_logic_unsigned.all;

ENTITY ALU IS
    PORT (
        a_in, b_in: IN STD_LOGIC_VECTOR(7 DOWNTO 0);
        c_in: IN STD_LOGIC;
        op: IN STD_LOGIC_VECTOR(3 DOWNTO 0);
        r: OUT STD_LOGIC_VECTOR(7 DOWNTO 0);
        c_out, z, v: OUT STD_LOGIC
    );
END ENTITY;
```

Fonte: Autoria própria (2025).

Posteriormente, foi definido a arquitetura e a implementação. Na arquitetura foi estabelecido um sinal auxiliar “whole” com 9 bits que é utilizada para armazenar o resultado completo de operações aritméticas, permitindo a captura de carry-out quando necessário.

Na implementação, primeiramente, foi definido a operação que será realizada com base no valor de “op” usando a estrutura de WITH...SELECT. Em cada caso dessa construção, concatena-se um “0” no início de “a_in” e “b_in” para formar vetores de 9 bits, permitindo detectar overflow/carry para as operações aritméticas. A geração de saídas foi desenvolvida conforme as informações no Quadro 2. Na Figura 2 é exibido a arquitetura e implementação do sistema.

Figura 2 - Arquitetura e implementação da ULA.

```

ARCHITECTURE arch OF ALU IS
    SIGNAL whole: STD_LOGIC_VECTOR(8 DOWNTO 0);
BEGIN
    WITH op SELECT
        whole <= ('0' & a_in) + ('0' & b_in) WHEN "0000", -- ADD
                  ('0' & a_in) + ('0' & b_in) + ("00000000" & c_in) WHEN "0001", -- ADDC
                  ('0' & a_in) - ('0' & b_in) WHEN "0010", -- SUB
                  ('0' & a_in) - ('0' & b_in) - ("00000000" & c_in) WHEN "0011", -- SUBC
                  '0' & (a_in AND b_in) WHEN "0100", -- AND
                  '0' & (a_in OR b_in) WHEN "0101", -- OR
                  '0' & (a_in XOR b_in) WHEN "0110", -- XOR
                  '0' & NOT a_in WHEN "0111", -- NOT
                  a_in(7) & a_in(6 DOWNTO 0) & a_in(7) WHEN "1000", -- RL
                  a_in(0) & a_in(0) & a_in(7 DOWNTO 1) WHEN "1001", -- RR
                  a_in(7) & a_in(6 DOWNTO 0) & c_in WHEN "1010", -- RLC
                  a_in(0) & c_in & a_in(7 DOWNTO 1) WHEN "1011", -- RRC
                  a_in(7) & a_in(6 DOWNTO 0) & '0' WHEN "1100", -- SLL
                  a_in(0) & '0' & a_in(7 DOWNTO 1) WHEN "1101", -- SRL
                  a_in(0) & a_in(7) & a_in(7 DOWNTO 1) WHEN "1110", -- SRA
                  '0' & b_in WHEN "1111", -- PASS_B
                  (others => '0') WHEN OTHERS;

    r <= whole(7 DOWNTO 0);
    c_out <= whole(8);
    z <= '1' WHEN whole(7 DOWNTO 0) = "00000000" ELSE '0';

```

Fonte: Autoria própria (2025).

Em seguida, foi definido o cálculo da flag de overflow, que nesse caso é calculada apenas para casos de operações aritméticas (ADD, ADDC, SUB, SUBC), baseando-se nos sinais dos operandos e do resultado. A lógica dessa parte do código é baseada em detectar as seguintes situações: soma de dois positivos resultando em um negativo, soma de dois negativos resultando em um positivo, um positivo menos um negativo resultando em um negativo, e um negativo menos um positivo resultando em um positivo. Na Figura 3 mostra a implementação do cálculo de overflow do programa.

Figura 3 - Cálculo de overflow no programa.

```

WITH op SELECT
    v <= (a_in(7) AND b_in(7) AND NOT whole(7)) OR
          (NOT a_in(7) AND NOT b_in(7) AND whole(7)) WHEN "0000", -- ADD
          (a_in(7) AND b_in(7) AND NOT whole(7)) OR
          (NOT a_in(7) AND NOT b_in(7) AND whole(7)) WHEN "0001", -- ADDC
          (NOT a_in(7) AND b_in(7) AND whole(7)) OR
          (a_in(7) AND NOT b_in(7) AND NOT whole(7)) WHEN "0010", -- SUB
          (NOT a_in(7) AND b_in(7) AND whole(7)) OR
          (a_in(7) AND NOT b_in(7) AND NOT whole(7)) WHEN "0011", -- SUBC
          '0' WHEN OTHERS;
END arch;

```

Fonte: Autoria própria (2025).

Na Figura 4, é exibido a versão final do código, incluindo todas as partes explicadas anteriormente.

Figura 4 - Código fonte da ULA com a linguagem VHDL.

```

LIBRARY ieee;
USE ieee.std_logic_1164.all;
USE ieee.std_logic_unsigned.all;

ENTITY ALU IS
    PORT (
        a_in, b_in: IN STD_LOGIC_VECTOR(7 DOWNTO 0);
        c_in: IN STD_LOGIC;
        op: IN STD_LOGIC_VECTOR(3 DOWNTO 0);
        r: OUT STD_LOGIC_VECTOR(7 DOWNTO 0);
        c_out, z, v: OUT STD_LOGIC
    );
END ENTITY;

ARCHITECTURE arch OF ALU IS
    SIGNAL whole: STD_LOGIC_VECTOR(8 DOWNTO 0);
BEGIN
    WITH op SELECT
        whole <= ('0' & a_in) + ('0' & b_in) WHEN "0000", -- ADD
        ('0' & a_in) + ('0' & b_in) + ("00000000" & c_in) WHEN "0001", -- ADDC
        ('0' & a_in) - ('0' & b_in) WHEN "0010", -- SUB
        ('0' & a_in) - ('0' & b_in) - ("00000000" & c_in) WHEN "0011", -- SUBC
        '0' & (a_in AND b_in) WHEN "0100", -- AND
        '0' & (a_in OR b_in) WHEN "0101", -- OR
        '0' & (a_in XOR b_in) WHEN "0110", -- XOR
        '0' & NOT a_in WHEN "0111", -- NOT
        a_in(7) & a_in(6 DOWNTO 0) & a_in(7) WHEN "1000", -- RL
        a_in(0) & a_in(0) & a_in(7 DOWNTO 1) WHEN "1001", -- RR
        a_in(7) & a_in(6 DOWNTO 0) & c_in WHEN "1010", -- RLC
        a_in(0) & c_in & a_in(7 DOWNTO 1) WHEN "1011", -- RRC
        a_in(7) & a_in(6 DOWNTO 0) & '0' WHEN "1100", -- SLL
        a_in(0) & '0' & a_in(7 DOWNTO 1) WHEN "1101", -- SRL
        a_in(0) & a_in(7) & a_in(7 DOWNTO 1) WHEN "1110", -- SRA
        '0' & b_in WHEN "1111", -- PASS_B
        (others => '0') WHEN OTHERS;

    r <= whole(7 DOWNTO 0);
    c_out <= whole(8);
    z <= '1' WHEN whole(7 DOWNTO 0) = "00000000" ELSE '0';

    WITH op SELECT
        v <= (a_in(7) AND b_in(7) AND NOT whole(7)) OR
        (NOT a_in(7) AND NOT b_in(7) AND whole(7)) WHEN "0000", -- ADD
        (a_in(7) AND b_in(7) AND NOT whole(7)) OR
        (NOT a_in(7) AND NOT b_in(7) AND whole(7)) WHEN "0001", -- ADDC
        (NOT a_in(7) AND b_in(7) AND whole(7)) OR
        (a_in(7) AND NOT b_in(7) AND NOT whole(7)) WHEN "0010", -- SUB
        (NOT a_in(7) AND b_in(7) AND whole(7)) OR
        (a_in(7) AND NOT b_in(7) AND NOT whole(7)) WHEN "0011", -- SUBC
        '0' WHEN OTHERS;

END arch;

```

Fonte: Autoria própria (2025).

Vale ressaltar que o programa foi desenvolvido utilizando exclusivamente código corrente, sem o auxílio de latches e flip-flops. Além disso, todas as entradas e saídas foram do tipo STD_LOGIC ou STD_LOGIC_VECTOR.

2.2 Testes, Resultados e Análises

Após o desenvolvimento da ULA na linguagem VHDL, foi realizada uma bateria de testes. Estes procuram estipular valores de entrada e verificar se os valores de saída condizem com o esperado de acordo com a operação, sendo que a cada 10ns

um novo conjunto de valores de entradas é posto para que seja possível se testar todas as saídas possíveis.

Nesse sentido, primeiramente, foram realizados os casos de teste da operação ADD, ou seja, com a variável de entrada “op” sendo igual a 0000. Assim, foram produzidos os casos de testes, os quais são descritos no Quadro 4.

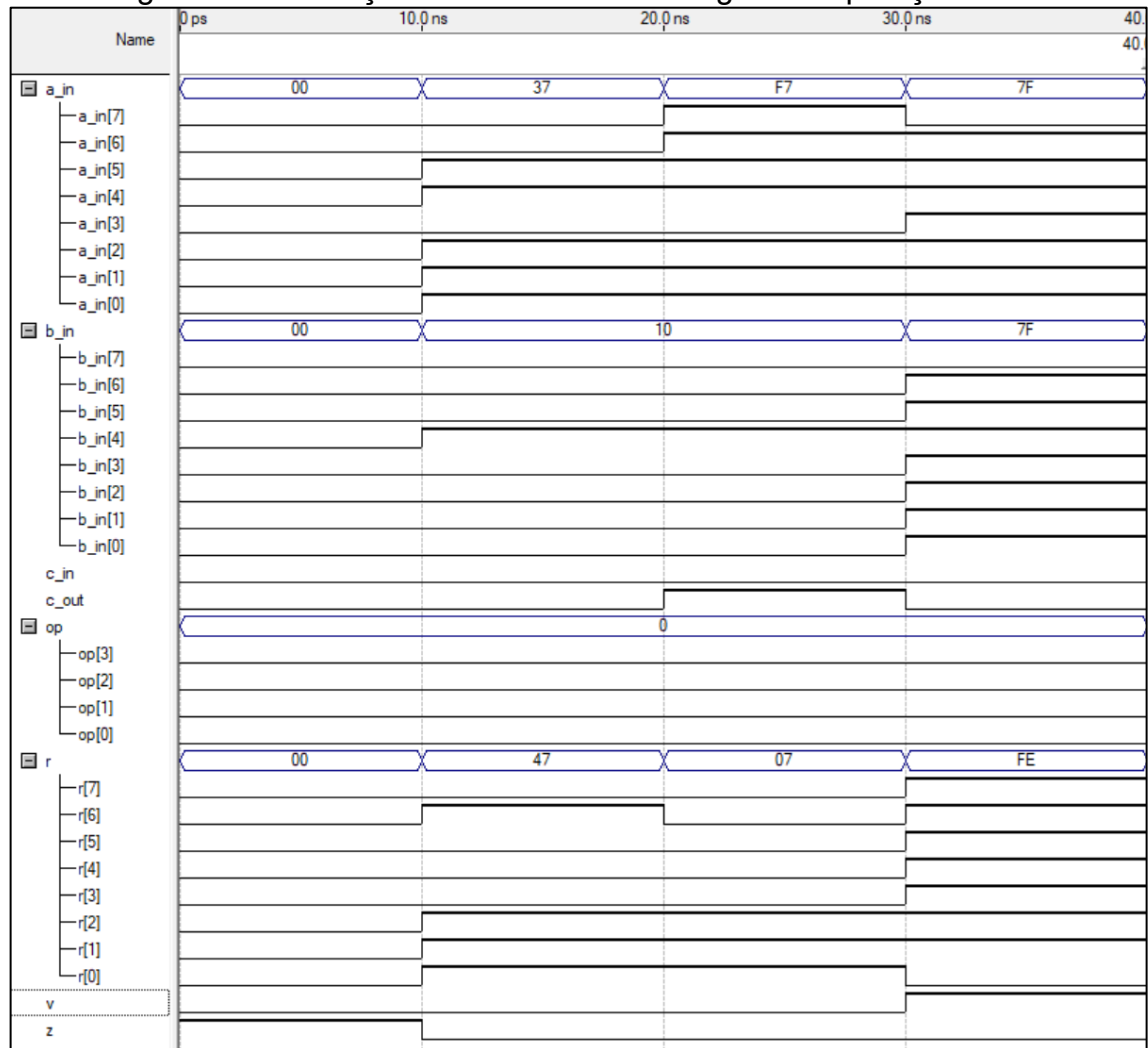
Quadro 4 - Casos de teste para ADD.

Tempo	Variáveis de Entrada			Resultados esperados nas variáveis de saída			
	a_in	b_in	c_in	r	c_out	z	v
0ps – 10ns	0x00	0x00	DC	0x00	0	1	0
10ns - 20ns	0x37	0x10	DC	0x47	0	0	0
20ns - 30ns	0xF7	0x10	DC	0x07	1	0	0
30ns - 40ns	0x7F	0x7F	DC	0xFE	0	0	1

Fonte: Autoria própria (2025).

Sendo os valores de entrada e a de saída “r” na base hexadecimal, DC; “don’t care”, um valor que não influencia na operação e as demais saídas na base binária. Nesse sentido, essas observações serão validas para os próximos casos de teste que serão apresentados nesse trabalho. Assim, foi realizada uma simulação de forma de onda digital com as entradas de dados estabelecidas no Quadro 4 e suas respectivas faixas de tempo. A Figura 5 mostra as formas de ondas obtidas.

Figura 5 – Simulação em forma de onda digital da operação ADD.



Fonte: Autoria própria (2025).

Sendo as ondas em nível baixo equivalendo ao bit 0 e as ondas em nível alto equivalendo ao bit 1. Foi analisado os resultados, valor das variáveis de saída, gerados pela simulação, o que ocasionou nos dados descritos na Tabela 1.

Tabela 1 - Resultados do teste da operação ADD.

Tempo	r (Hexadecimal)	c_out (Binário)	z (Binário)	v (Binário)
0ps – 10ns	0x00	0	1	0
10ns - 20ns	0x47	0	0	0
20ns - 30ns	0x07	1	0	0
30ns - 40ns	0xFE	0	0	1

Fonte: Autoria própria (2025).

Comparando os valores obtidos na simulação, listados na Tabela 1, e os valores esperados no cenário de teste, representado no Quadro 4, pode-se observar que dados são equivalentes, desse modo, pode-se afirmar que a execução da operação

ADD da ULA está correta. Posteriormente, foram elaborados os testes para operação ADDC, logo, com a variável “op” equivalendo a 0001. Os casos de teste estão listados no Quadro 5.

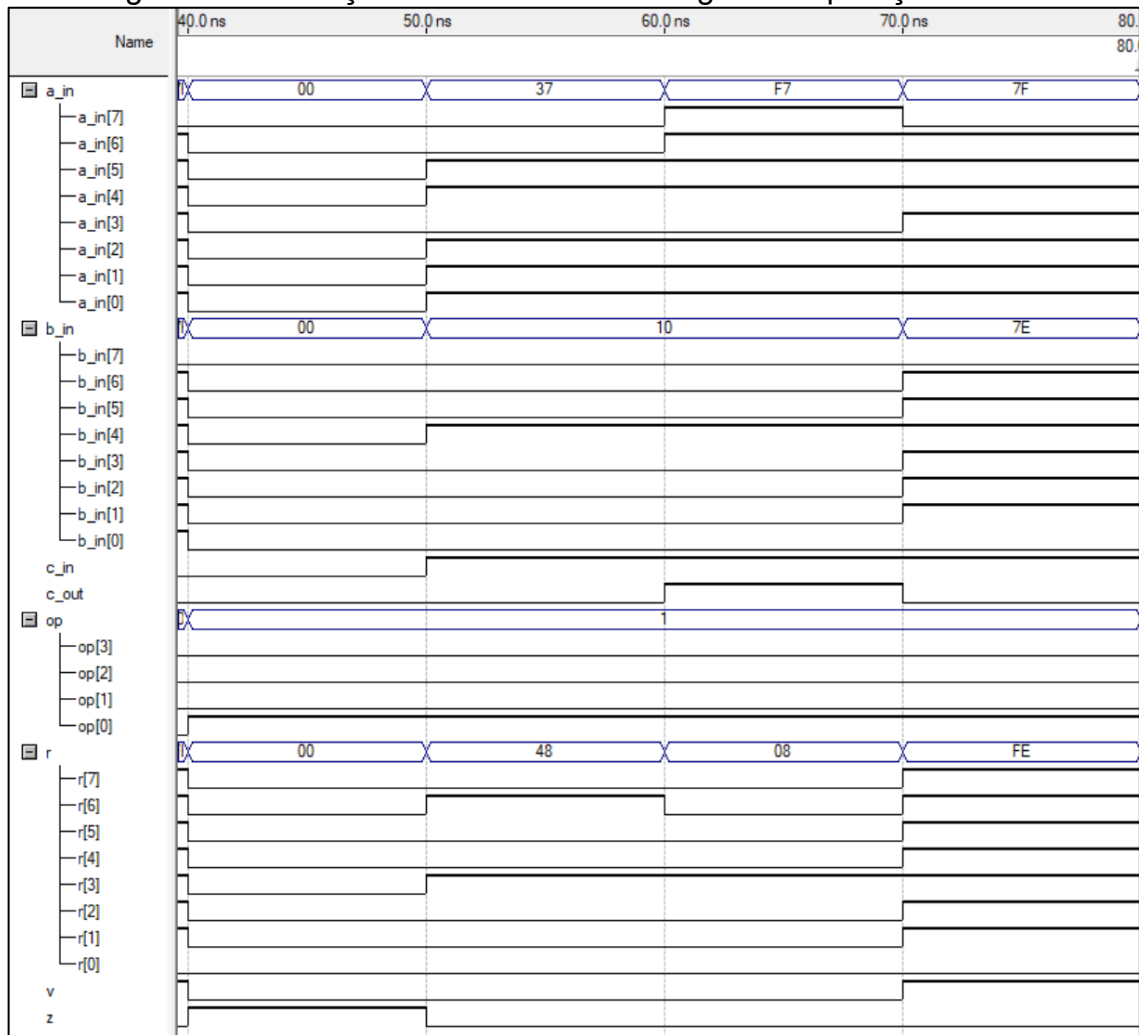
Quadro 5 - Casos de teste para ADDC.

Tempo	Variáveis de Entrada			Resultados esperados nas variáveis de saída			
	a_in	b_in	c_in	r	c_out	z	v
40ns – 50ns	0x00	0x00	0	0x00	0	1	0
50ns - 60ns	0x37	0x10	1	0x48	0	0	0
60ns - 70ns	0xF7	0x10	1	0x08	1	0	0
70ns - 80ns	0x7F	0x7E	1	0xFE	0	0	1

Fonte: Autoria própria (2025).

Com “c_in” na base binária. A Figura 6 mostra os resultados obtidos com os cenários de testes descritos no Quadro 5.

Figura 6 - Simulação em forma de onda digital da operação ADDC.



Fonte: Autoria própria (2025).

Assim, foi analisado os resultados, valor das variáveis de saída, gerados pela simulação, o que ocasionou nos dados descritos na Tabela 2.

Tabela 2 - Resultados do teste da operação ADDC.

Tempo	r (Hexadecimal)	c_out (Binário)	z (Binário)	v (Binário)
40ns – 50ns	0x00	0	1	0
50ns - 60ns	0x48	0	0	0
60ns - 70ns	0x08	1	0	0
70ns - 80ns	0xFE	0	0	1

Fonte: Autoria própria (2025).

Comparando os valores obtidos na simulação, listados na Tabela 2, e os valores esperados no cenário de teste, representado no Quadro 5, pode-se observar que dados são equivalentes, desse modo, pode-se afirmar que a execução da operação

ADDC da ULA está correta. Para os casos de teste da operação SUB, variável “op” equivalendo a 0010, estão descritos no Quadro 6.

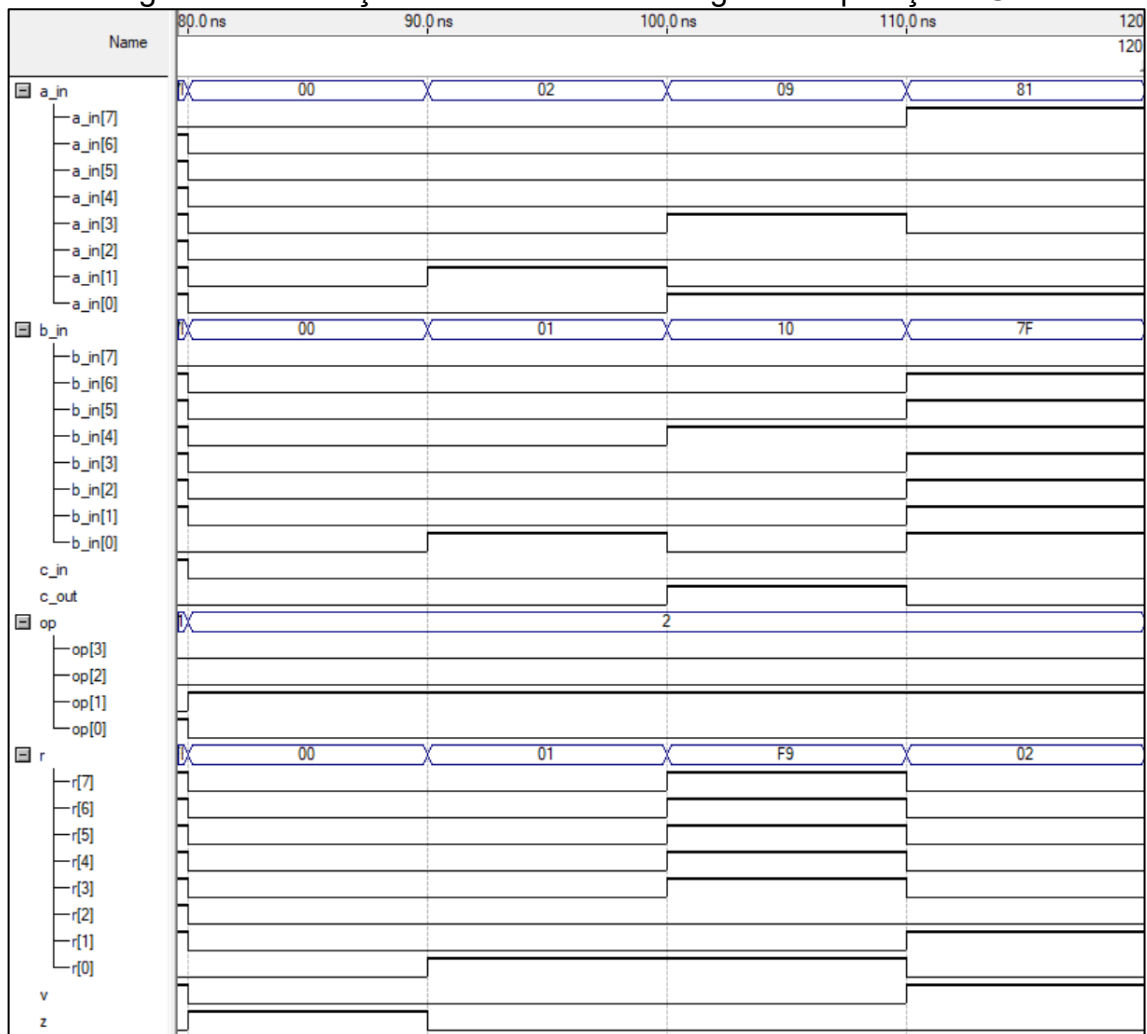
Quadro 6 - Casos de teste para SUB.

Tempo	Variáveis de Entrada			Resultados esperados nas variáveis de saída			
	a_in	b_in	c_in	r	c_out	z	v
80ns – 90ns	0x00	0x00	DC	0x00	0	1	0
90ns - 100ns	0x02	0x01	DC	0x01	0	0	0
100ns – 110ns	0x09	0x10	DC	0xF9	1	0	0
110ns – 120ns	0x81	0x7F	DC	0x02	0	0	1

Fonte: Autoria própria (2025).

A Figura 7 mostra os resultados obtidos com os cenários de testes descritos no Quadro 6.

Figura 7 - Simulação em forma de onda digital da operação SUB.



Fonte: Autoria própria (2025).

Assim, foi analisado os resultados, valor das variáveis de saída, gerados pela simulação, o que ocasionou nos dados descritos na Tabela 3.

Tabela 3 - Resultados do teste da operação SUB.

Tempo	r (Hexadecimal)	c_out (Binário)	z (Binário)	v (Binário)
80ns – 90ns	0x00	0	1	0
90ns - 100ns	0x01	0	0	0
100ns – 110ns	0xF9	1	0	0
110ns – 120ns	0x02	0	0	1

Fonte: Autoria própria (2025).

Comparando os valores obtidos na simulação, listados na Tabela 3, e os valores esperados no cenário de teste, representado no Quadro 6, pode-se observar que dados são equivalentes, desse modo, pode-se afirmar que a execução da operação SUB da ULA está correta. Para os casos de teste da operação SUBC, variável “op” equivalendo a 0011, estão descritos no Quadro 7.

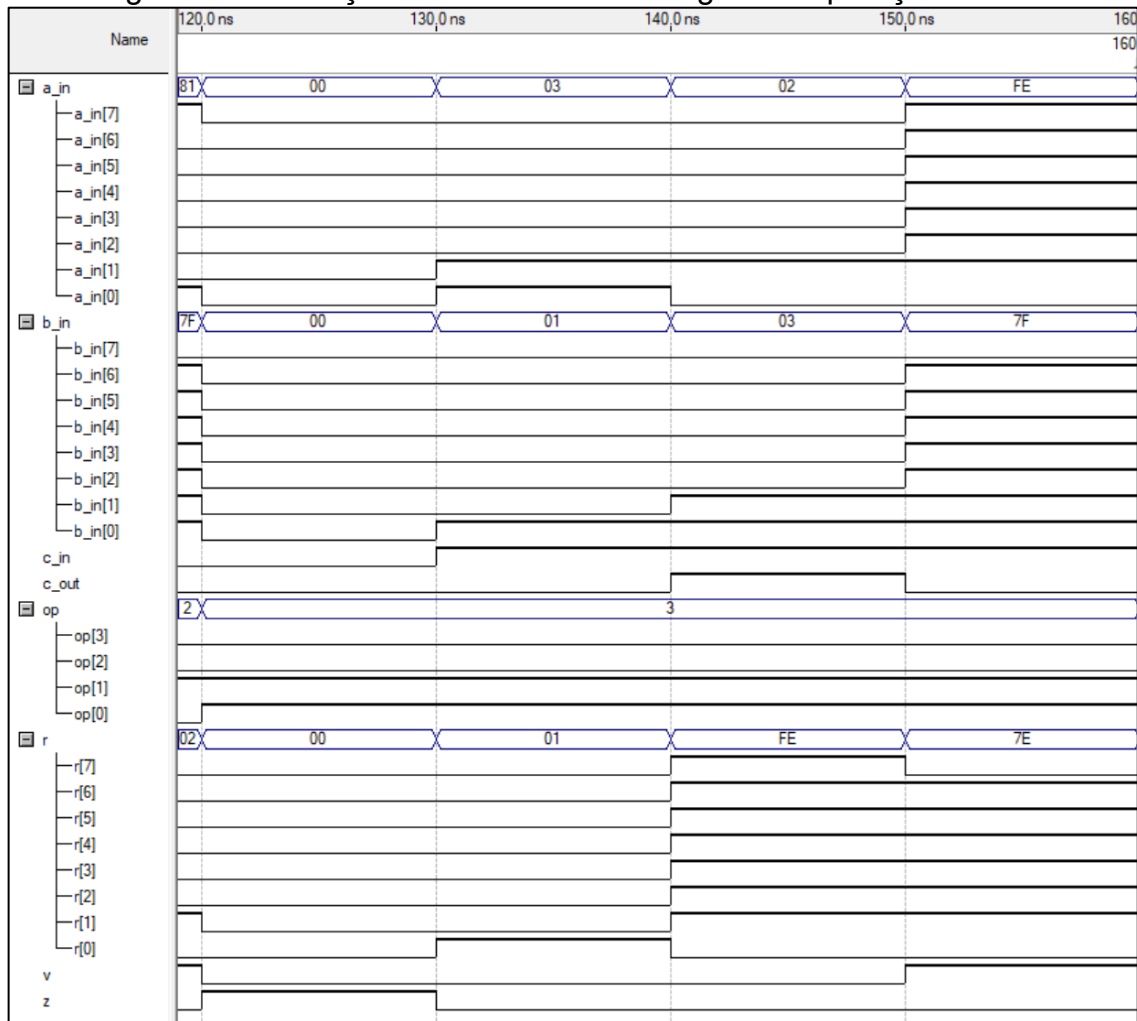
Quadro 7 - Casos de teste para SUBC.

Tempo	Variáveis de Entrada			Resultados esperados nas variáveis de saída			
	a_in	b_in	c_in	r	c_out	z	v
120ns – 130ns	0x00	0x00	0	0x00	0	1	0
130ns - 140ns	0x03	0x01	1	0x01	0	0	0
140ns - 150ns	0x02	0x03	1	0xFE	1	0	0
150ns - 160ns	0xFE	0x7F	1	0x7E	0	0	1

Fonte: Autoria própria (2025).

A Figura 8 mostra os resultados obtidos com os cenários de testes descritos no Quadro 7.

Figura 8 - Simulação em forma de onda digital da operação SUBC.



Fonte: Autoria própria (2025).

Assim, foi analisado os resultados, valor das variáveis de saída, gerados pela simulação, o que ocasionou nos dados descritos na Tabela 4.

Tabela 4 - Resultados do teste da operação SUBC.

Tempo	r (Hexadecimal)	c_out (Binário)	z (Binário)	v (Binário)
120ns – 130ns	0x00	0	1	0
130ns - 140ns	0x01	0	0	0
140ns - 150ns	0xFE	1	0	0
150ns - 160ns	0x7E	0	0	1

Fonte: Autoria própria (2025).

Comparando os valores obtidos na simulação, listados na Tabela 4, e os valores esperados no cenário de teste, representado no Quadro 7, pode-se observar que dados são equivalentes, desse modo, pode-se afirmar que a execução da operação

SUBC da ULA está correta. Para os casos de teste da operação AND, variável “op” equivalendo a 1000, estão descritos no Quadro 8.

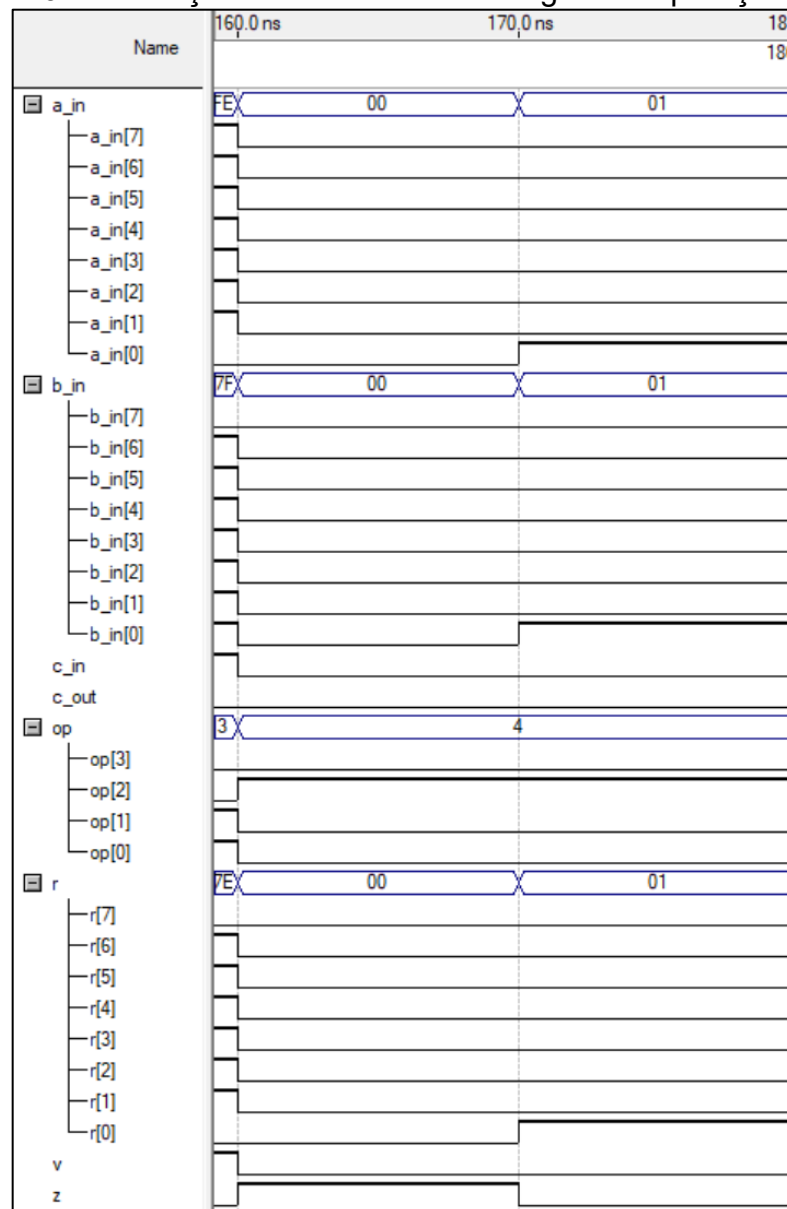
Quadro 8 - Casos de teste para AND.

Tempo	Variáveis de Entrada			Resultados esperados nas variáveis de saída			
	a_in	b_in	c_in	r	c_out	z	v
160ns – 170ns	0x00	0x00	DC	0x00	0	1	0
170ns - 180ns	0x01	0x01	DC	0x01	0	0	0

Fonte: Autoria própria (2025).

A Figura 9 mostra os resultados obtidos com os cenários de testes descritos no Quadro 8.

Figura 9 - Simulação em forma de onda digital da operação AND.



Fonte: Autoria própria (2025).

Assim, foi analisado os resultados, valor das variáveis de saída, gerados pela simulação, o que ocasionou nos dados descritos na Tabela 5.

Tabela 5 - Resultados do teste da operação AND.

Tempo	r (Hexadecimal)	c_out (Binário)	z (Binário)	v (Binário)
160ns – 170ns	0x00	0	1	0
170ns - 180ns	0x01	0	0	0

Fonte: Autoria própria (2025).

Comparando os valores obtidos na simulação, listados na Tabela 5, e os valores esperados no cenário de teste, representado no Quadro 8, pode-se observar que dados são equivalentes, desse modo, pode-se afirmar que a execução da operação

AND da ULA está correta. Para os casos de teste da operação OR, variável “op” equivalendo a 0101, estão descritos no Quadro 9.

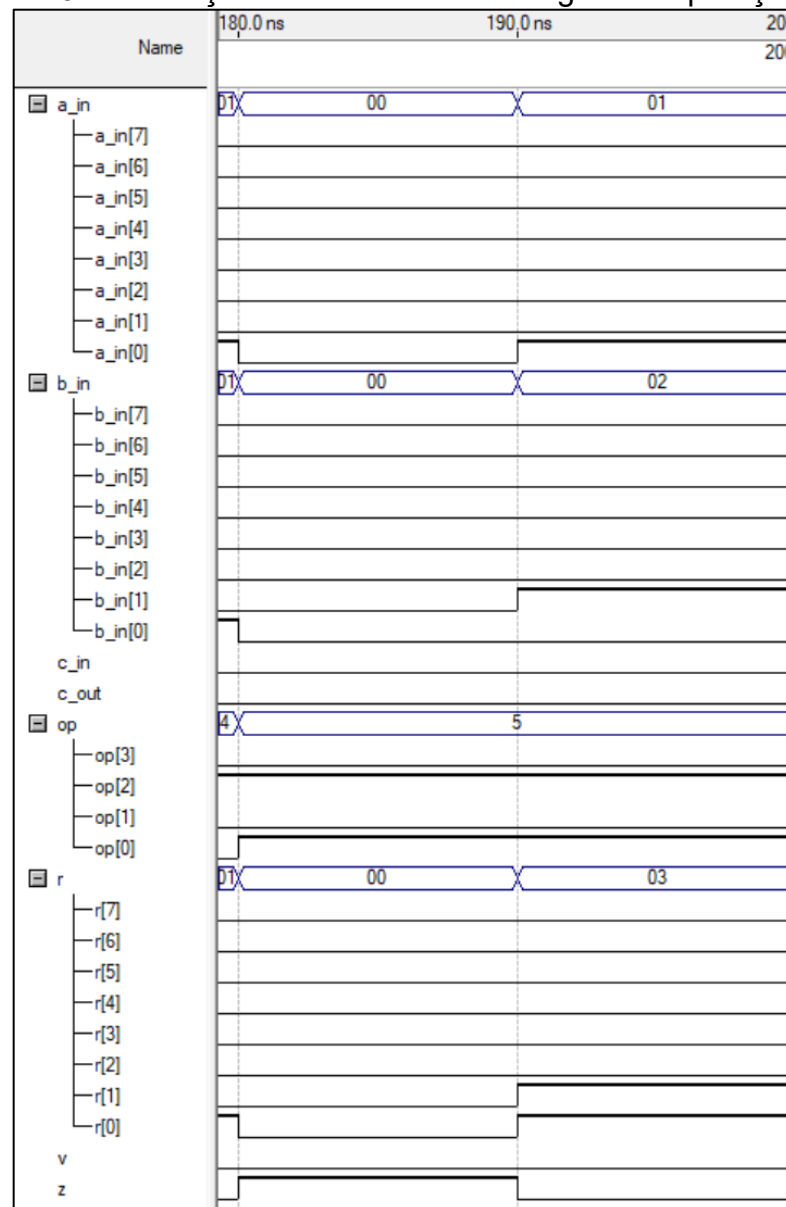
Quadro 9 - Casos de teste para OR.

Tempo	Variáveis de Entrada			Resultados esperados nas variáveis de saída			
	a_in	b_in	c_in	r	c_out	z	v
180ns – 190ns	0x00	0x00	DC	0x00	0	1	0
190ns - 200ns	0x01	0x02	DC	0x03	0	0	0

Fonte: Autoria própria (2025).

A Figura 10 mostra os resultados obtidos com os cenários de testes descritos no Quadro 9.

Figura 10 - Simulação em forma de onda digital da operação OR.



Fonte: Autoria própria (2025).

Assim, foi analisado os resultados, valor das variáveis de saída, gerados pela simulação, o que ocasionou nos dados descritos na Tabela 6.

Tabela 6 - Resultados do teste da operação OR.

Tempo	r (Hexadecimal)	c_out (Binário)	z (Binário)	v (Binário)
180ns – 190ns	0x00	0	1	0
190ns - 200ns	0x03	0	0	0

Fonte: Autoria própria (2025).

Comparando os valores obtidos na simulação, listados na Tabela 6, e os valores esperados no cenário de teste, representado no Quadro 9, pode-se observar que dados são equivalentes, desse modo, pode-se afirmar que a execução da operação

OR da ULA está correta. Para os casos de teste da operação XOR, variável “op” equivalendo a 0110, estão descritos no Quadro 10.

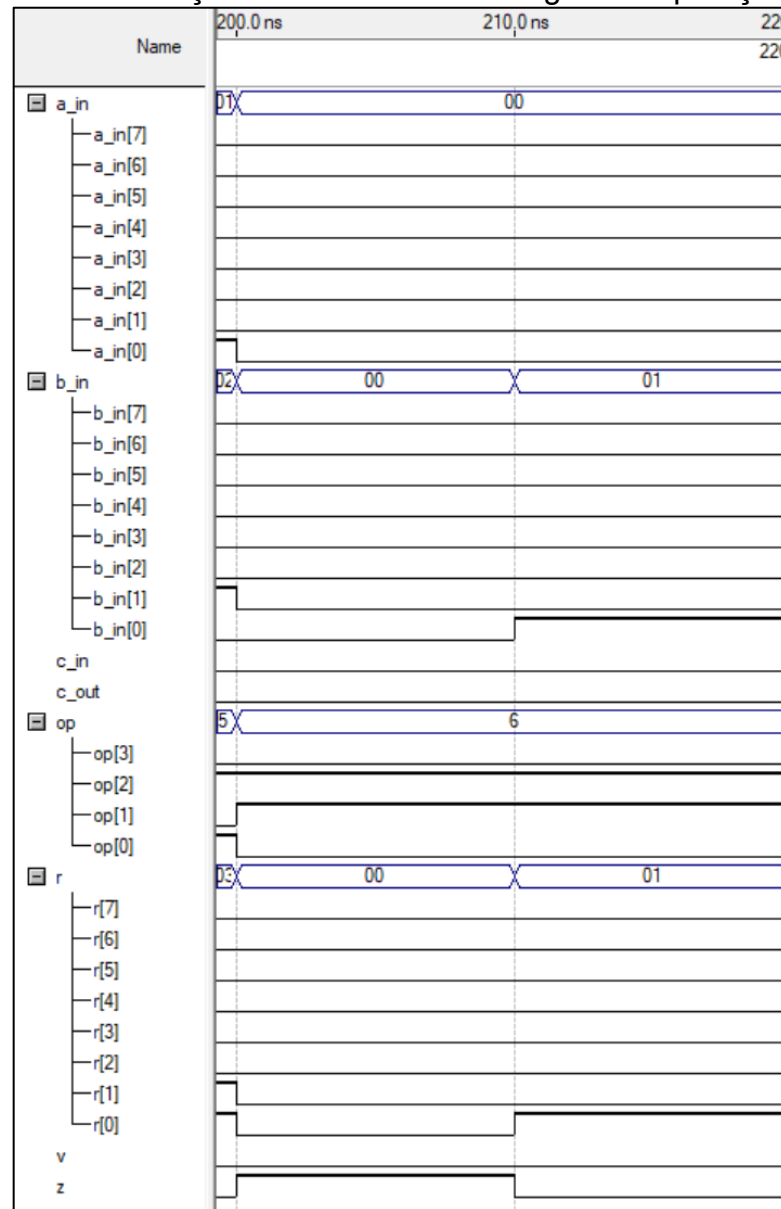
Quadro 10 - Casos de teste para XOR.

Tempo	Variáveis de Entrada			Resultados esperados nas variáveis de saída			
	a_in	b_in	c_in	r	c_out	z	v
200ns – 210ns	0x00	0x00	DC	0x00	0	1	0
210ns - 220ns	0x00	0x01	DC	0x01	0	0	0

Fonte: Autoria própria (2025).

A Figura 11 mostra os resultados obtidos com os cenários de testes descritos no Quadro 10.

Figura 11 - Simulação em forma de onda digital da operação XOR.



Fonte: Autoria própria (2025).

Assim, foi analisado os resultados, valor das variáveis de saída, gerados pela simulação, o que ocasionou nos dados descritos na Tabela 7.

Tabela 7 - Resultados do teste da operação XOR.

Tempo	r (Hexadecimal)	c_out (Binário)	z (Binário)	v (Binário)
200ns – 210ns	0x00	0	1	0
210ns - 220ns	0x01	0	0	0

Fonte: Autoria própria (2025).

Comparando os valores obtidos na simulação, listados na Tabela 7, e os valores esperados no cenário de teste, representado no Quadro 10, pode-se observar que dados são equivalentes, desse modo, pode-se afirmar que a execução da operação

XOR da ULA está correta. Para os casos de teste da operação NOT, variável “op” equivalendo a 0111, estão descritos no Quadro 11.

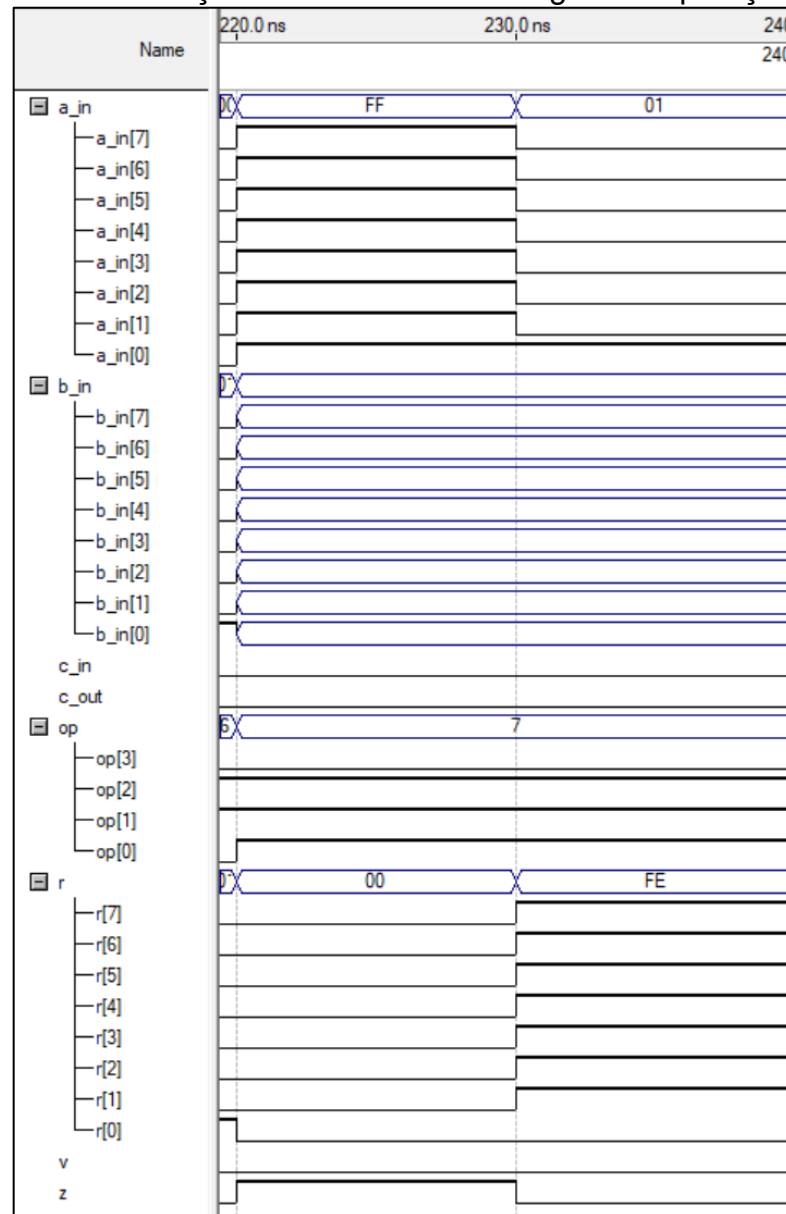
Quadro 11 - Casos de teste para NOT.

Tempo	Variáveis de Entrada			Resultados esperados nas variáveis de saída			
	a_in	b_in	c_in	r	c_out	z	v
220ns – 230ns	0x00	DC	DC	0x00	0	1	0
230ns - 240ns	0x01	DC	DC	0x03	0	0	0

Fonte: Autoria própria (2025).

A Figura 12 mostra os resultados obtidos com os cenários de testes descritos no Quadro 11.

Figura 12 - Simulação em forma de onda digital da operação NOT.



Fonte: Autoria própria (2025).

Assim, foi analisado os resultados, valor das variáveis de saída, gerados pela simulação, o que ocasionou nos dados descritos na Tabela 8.

Tabela 8 - Resultados do teste da operação NOT.

Tempo	r (Hexadecimal)	c_out (Binário)	z (Binário)	v (Binário)
220ns – 230ns	0x00	0	1	0
230ns - 240ns	0x03	0	0	0

Fonte: Autoria própria (2025).

Comparando os valores obtidos na simulação, listados na Tabela 8, e os valores esperados no cenário de teste, representado no Quadro 11, pode-se observar que dados são equivalentes, desse modo, pode-se afirmar que a execução da operação

NOT da ULA está correta. Para os casos de teste da operação RL, variável “op” equivalendo a 1000, estão descritos no Quadro 12.

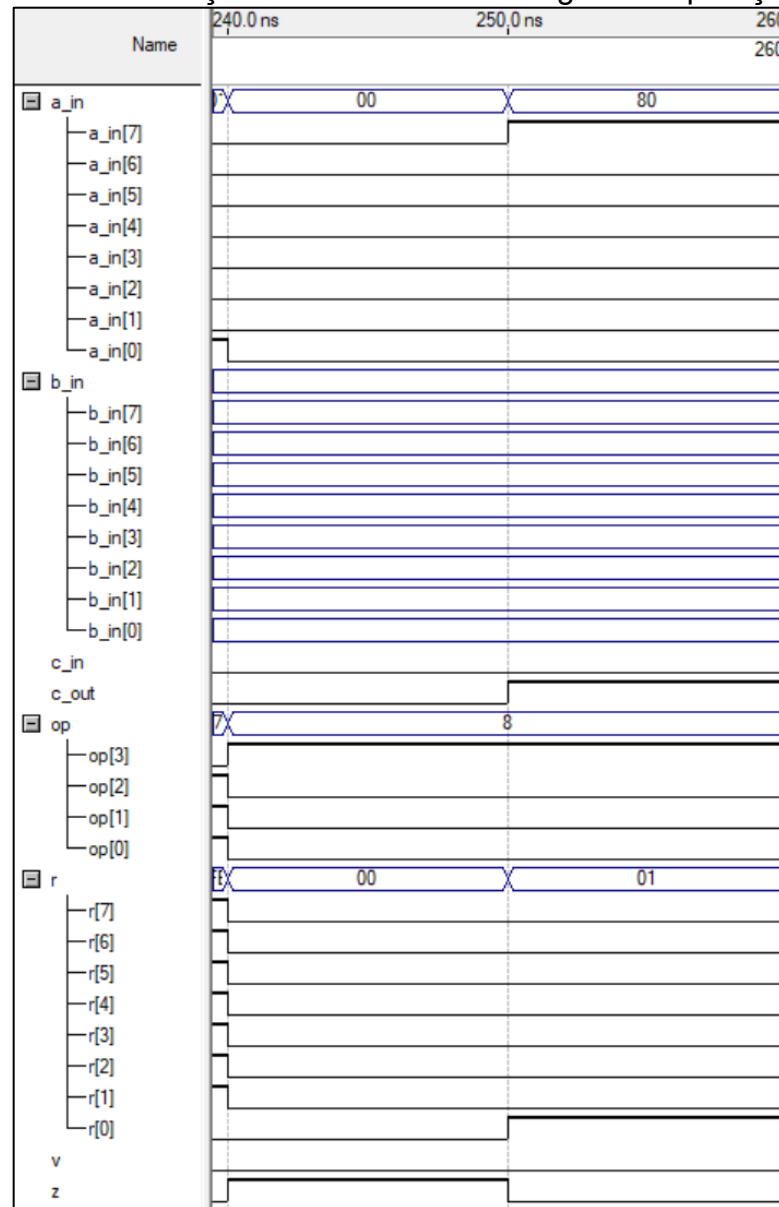
Quadro 12 - Casos de teste para RL.

Tempo	Variáveis de Entrada			Resultados esperados nas variáveis de saída			
	a_in	b_in	c_in	r	c_out	z	v
240ns – 250ns	0x00	DC	DC	0x00	0	1	0
250ns – 260ns	0x80	DC	DC	0x01	1	0	0

Fonte: Autoria própria (2025).

A Figura 13 mostra os resultados obtidos com os cenários de testes descritos no Quadro 12.

Figura 13 - Simulação em forma de onda digital da operação RL.



Fonte: Autoria própria (2025).

Assim, foi analisado os resultados, valor das variáveis de saída, gerados pela simulação, o que ocasionou nos dados descritos na Tabela 9.

Tabela 9 - Resultados do teste da operação RL.

Tempo	r (Hexadecimal)	c_out (Binário)	z (Binário)	v (Binário)
240ns – 250ns	0x00	0	1	0
250ns – 260ns	0x01	1	0	0

Fonte: Autoria própria (2025).

Comparando os valores obtidos na simulação, listados na Tabela 9, e os valores esperados no cenário de teste, representado no Quadro 12, pode-se observar que dados são equivalentes, desse modo, pode-se afirmar que a execução da operação

RL da ULA está correta. Para os casos de teste da operação RR, variável “op” equivalendo a 1001, estão descritos no Quadro 13.

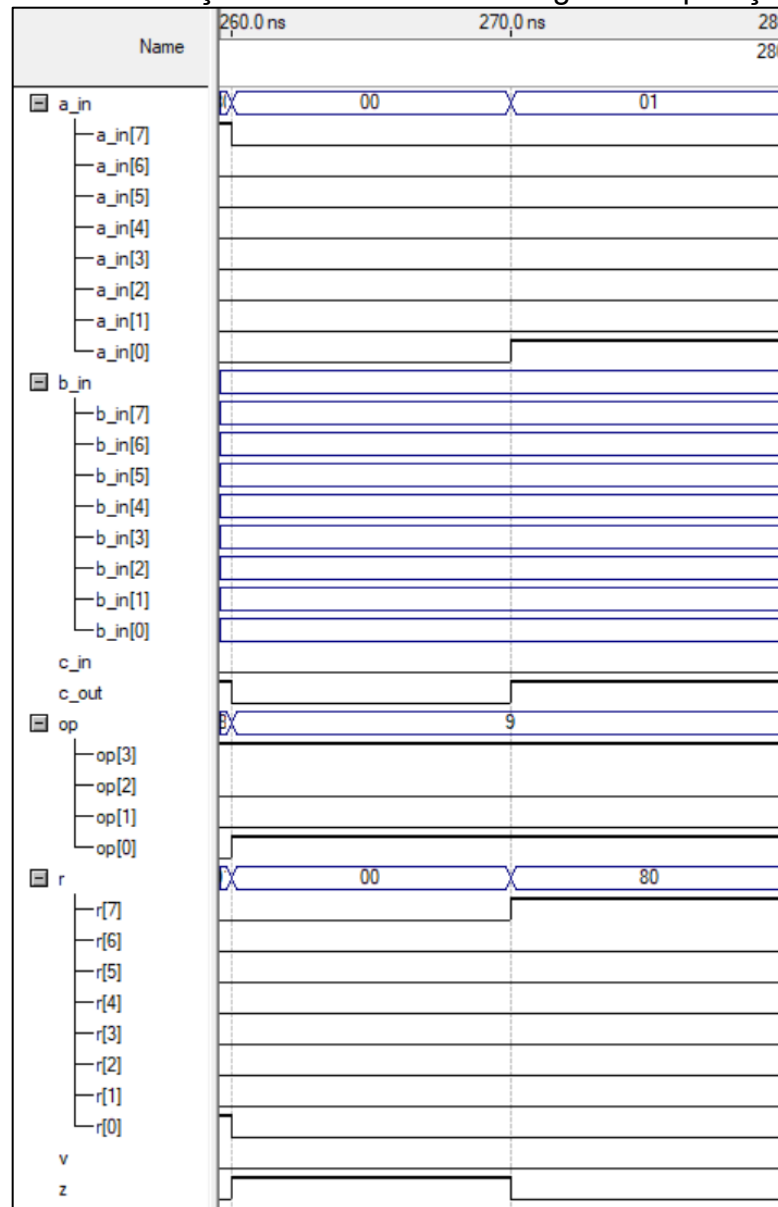
Quadro 13 - Casos de teste para RR.

Tempo	Variáveis de Entrada			Resultados esperados nas variáveis de saída			
	a_in	b_in	c_in	r	c_out	z	v
260ns – 270ns	0x00	DC	DC	0x00	0	1	0
270ns – 280ns	0x01	DC	DC	0x80	1	0	0

Fonte: Autoria própria (2025).

A Figura 14 mostra os resultados obtidos com os cenários de testes descritos no Quadro 13.

Figura 14 - Simulação em forma de onda digital da operação RR.



Fonte: Autoria própria (2025).

Assim, foi analisado os resultados, valor das variáveis de saída, gerados pela simulação, o que ocasionou nos dados descritos na Tabela 10.

Tabela 10 - Resultados do teste da operação RR.

Tempo	r (Hexadecimal)	c_out (Binário)	z (Binário)	v (Binário)
260ns – 270ns	0x00	0	1	0
270ns – 280ns	0x80	1	0	0

Fonte: Autoria própria (2025).

Comparando os valores obtidos na simulação, listados na Tabela 10, e os valores esperados no cenário de teste, representado no Quadro 13, pode-se observar que dados são equivalentes, desse modo, pode-se afirmar que a execução da

operação RR da ULA está correta. Para os casos de teste da operação RLC, variável “op” equivalendo a 1010, estão descritos no Quadro 14.

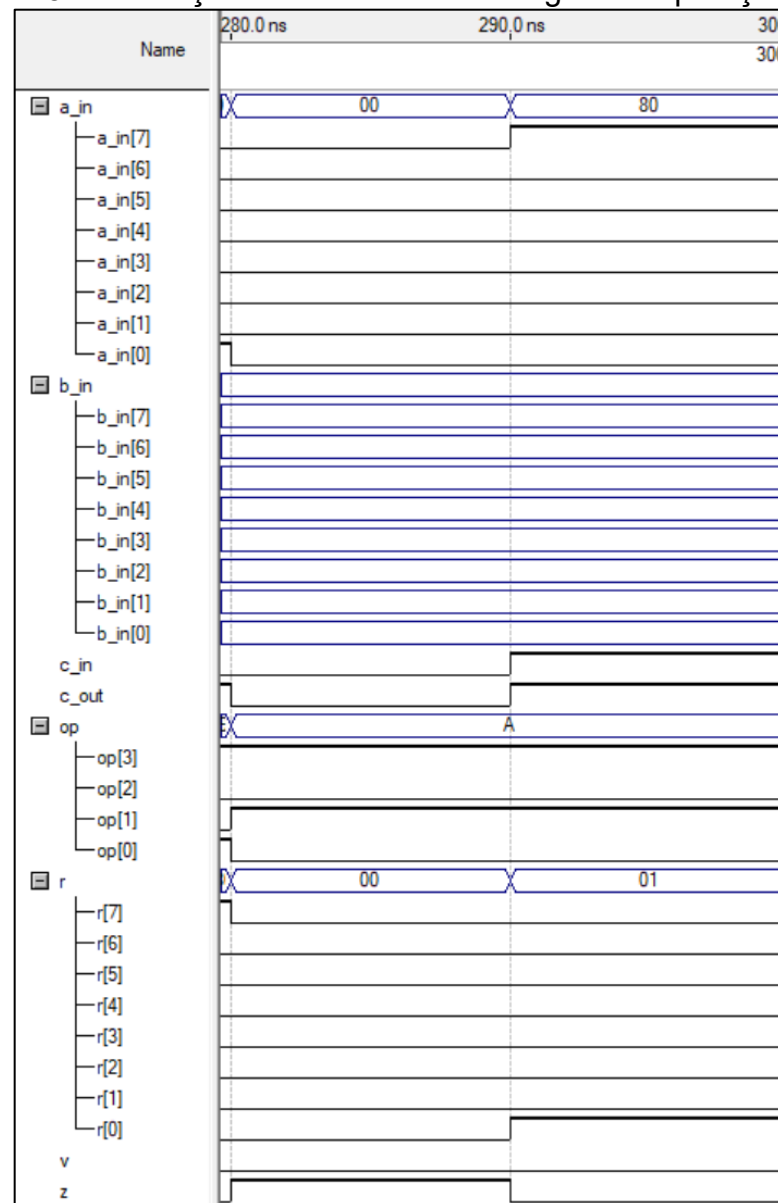
Quadro 14 - Casos de teste para RLC.

Tempo	Variáveis de Entrada			Resultados esperados nas variáveis de saída			
	a_in	b_in	c_in	r	c_out	z	v
280ns – 290ns	0x00	DC	0	0x00	0	1	0
290ns – 300ns	0x80	DC	1	0x01	1	0	0

Fonte: Autoria própria (2025).

A Figura 15 mostra os resultados obtidos com os cenários de testes descritos no Quadro 14.

Figura 15 - Simulação em forma de onda digital da operação RLC.



Fonte: Autoria própria (2025).

Assim, foi analisado os resultados, valor das variáveis de saída, gerados pela simulação, o que ocasionou nos dados descritos na Tabela 11.

Tabela 11 - Resultados do teste da operação RLC.

Tempo	r (Hexadecimal)	c_out (Binário)	z (Binário)	v (Binário)
280ns – 290ns	0x00	0	1	0
290ns – 300ns	0x01	1	0	0

Fonte: Autoria própria (2025).

Comparando os valores obtidos na simulação, listados na Tabela 11, e os valores esperados no cenário de teste, representado no Quadro 14, pode-se observar que dados são equivalentes, desse modo, pode-se afirmar que a execução da

operação RLC da ULA está correta. Para os casos de teste da operação RRC, variável “op” equivalendo a 1011, estão descritos no Quadro 15.

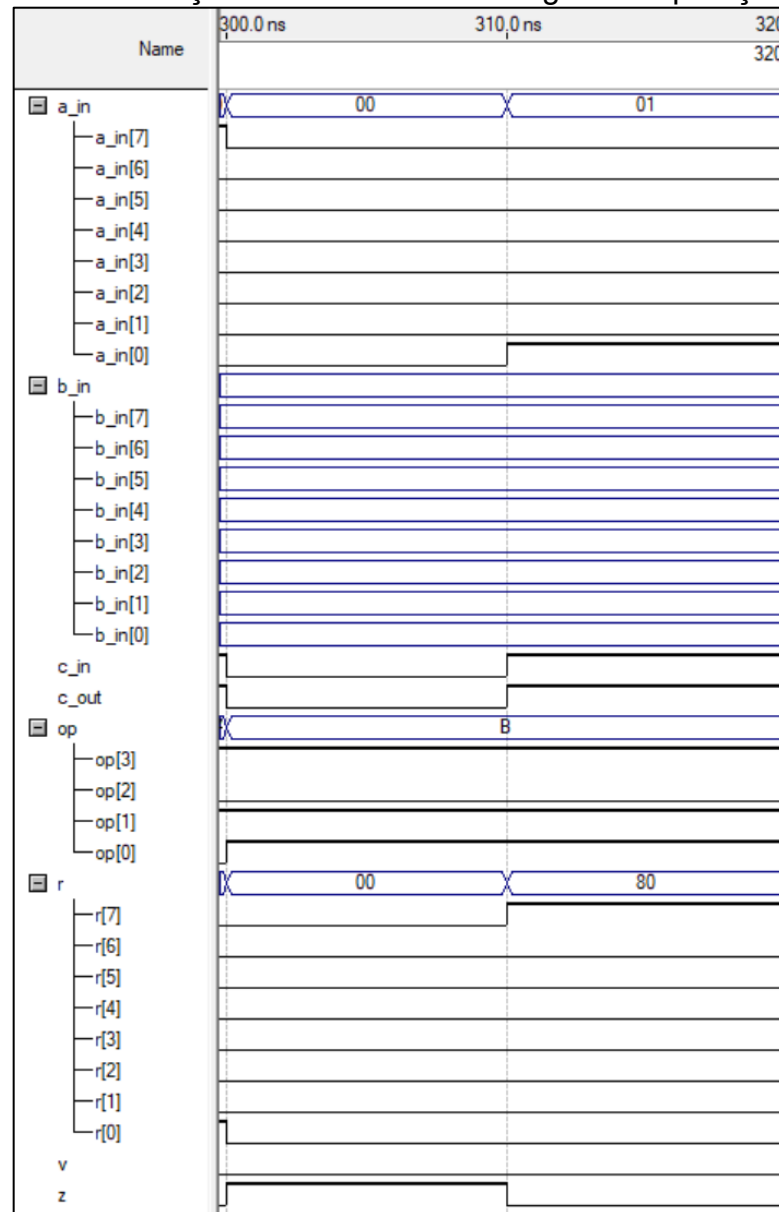
Quadro 15 - Casos de teste para RRC.

Tempo	Variáveis de Entrada			Resultados esperados nas variáveis de saída			
	a_in	b_in	c_in	r	c_out	z	v
300ns – 310ns	0x00	DC	0	0x00	0	1	0
310ns – 320ns	0x01	DC	1	0x80	1	0	0

Fonte: Autoria própria (2025).

A Figura 16 mostra os resultados obtidos com os cenários de testes descritos no Quadro 15.

Figura 16 - Simulação em forma de onda digital da operação RRC.



Fonte: Autoria própria (2025).

Assim, foi analisado os resultados, valor das variáveis de saída, gerados pela simulação, o que ocasionou nos dados descritos na Tabela 12.

Tabela 12 - Resultados do teste da operação RRC.

Tempo	r (Hexadecimal)	c_out (Binário)	z (Binário)	v (Binário)
300ns – 310ns	0x00	0	1	0
310ns – 320ns	0x80	1	0	0

Fonte: Autoria própria (2025).

Comparando os valores obtidos na simulação, listados na Tabela 12, e os valores esperados no cenário de teste, representado no Quadro 15, pode-se observar que dados são equivalentes, desse modo, pode-se afirmar que a execução da

operação RRC da ULA está correta. Para os casos de teste da operação SLL, variável “op” equivalendo a 1100, estão descritos no Quadro 16.

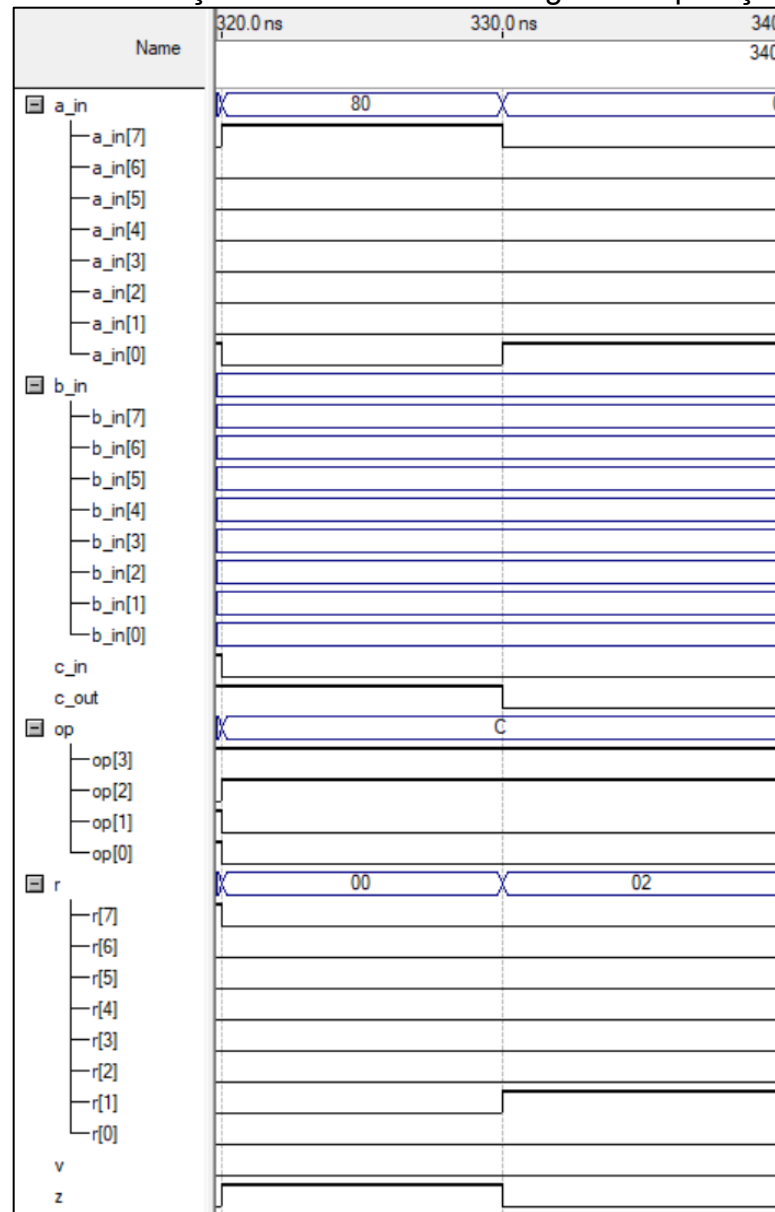
Quadro 16 - Casos de teste para SLL.

Tempo	Variáveis de Entrada			Resultados esperados nas variáveis de saída			
	a_in	b_in	c_in	r	c_out	z	v
320ns – 330ns	0x80	DC	DC	0x00	1	1	0
330ns – 340ns	0x01	DC	DC	0x02	0	0	0

Fonte: Autoria própria (2025).

A Figura 17 mostra os resultados obtidos com os cenários de testes descritos no Quadro 16.

Figura 17 - Simulação em forma de onda digital da operação SLL.



Fonte: Autoria própria (2025).

Assim, foi analisado os resultados, valor das variáveis de saída, gerados pela simulação, o que ocasionou nos dados descritos na Tabela 13.

Tabela 13 - Resultados do teste da operação SLL.

Tempo	r (Hexadecimal)	c_out (Binário)	z (Binário)	v (Binário)
320ns – 330ns	0x00	1	1	0
330ns – 340ns	0x02	0	0	0

Fonte: Autoria própria (2025).

Comparando os valores obtidos na simulação, listados na Tabela 13, e os valores esperados no cenário de teste, representado no Quadro 16, pode-se observar que dados são equivalentes, desse modo, pode-se afirmar que a execução da

operação SLL da ULA está correta. Para os casos de teste da operação SRL, variável “op” equivalendo a 1101, estão descritos no Quadro 17.

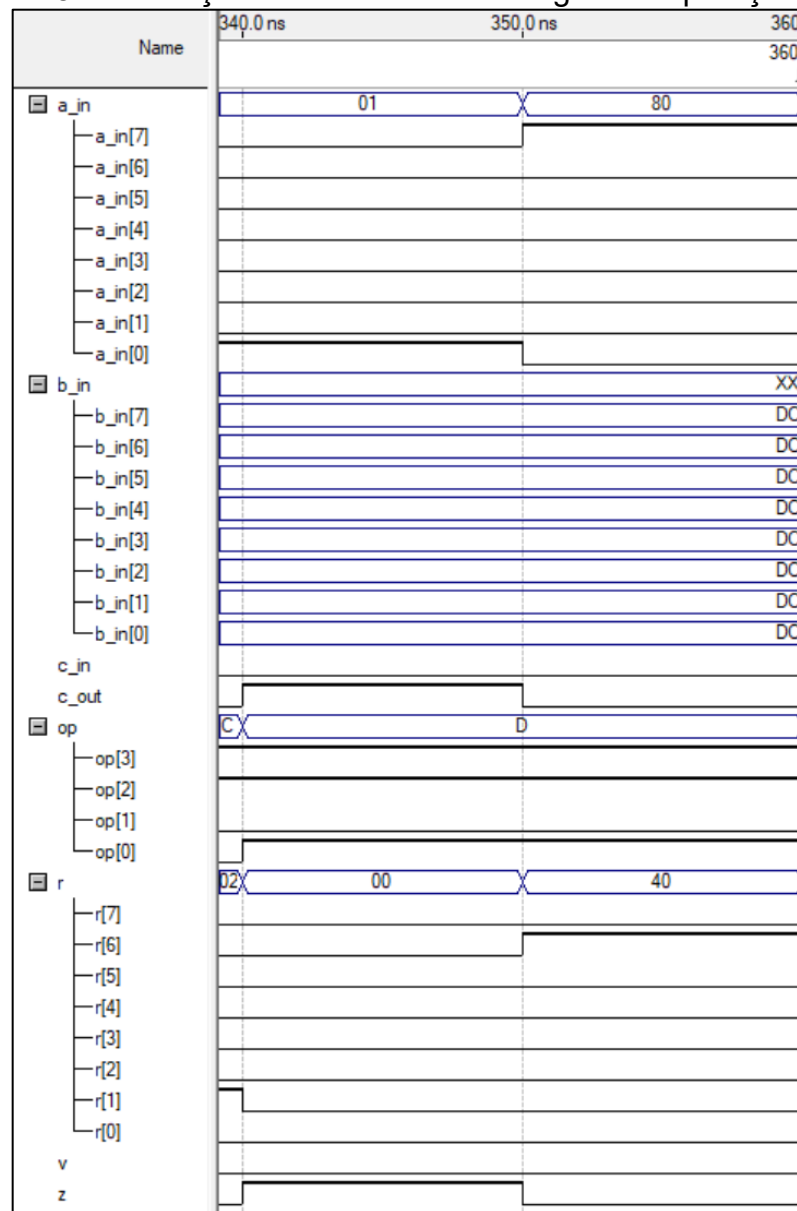
Quadro 17 - Casos de teste para SRL.

Tempo	Variáveis de Entrada			Resultados esperados nas variáveis de saída			
	a_in	b_in	c_in	r	c_out	z	v
340ns – 350ns	0x01	DC	DC	0x00	1	1	0
350ns – 360ns	0x80	DC	DC	0x40	0	0	0

Fonte: Autoria própria (2025).

A Figura 18 mostra os resultados obtidos com os cenários de testes descritos no Quadro 17.

Figura 18 - Simulação em forma de onda digital da operação SRL.



Fonte: Autoria própria (2025).

Assim, foi analisado os resultados, valor das variáveis de saída, gerados pela simulação, o que ocasionou nos dados descritos na Tabela 14.

Tabela 14- Resultados do teste da operação SRL.

Tempo	r (Hexadecimal)	c_out (Binário)	z (Binário)	v (Binário)
340ns – 350ns	0x00	1	1	0
350ns – 360ns	0x40	0	0	0

Fonte: Autoria própria (2025).

Comparando os valores obtidos na simulação, listados na Tabela 14, e os valores esperados no cenário de teste, representado no Quadro 17, pode-se observar que dados são equivalentes, desse modo, pode-se afirmar que a execução da

operação SRA da ULA está correta. Para os casos de teste da operação SRA, variável “op” equivalendo a 1110, estão descritos no Quadro 18.

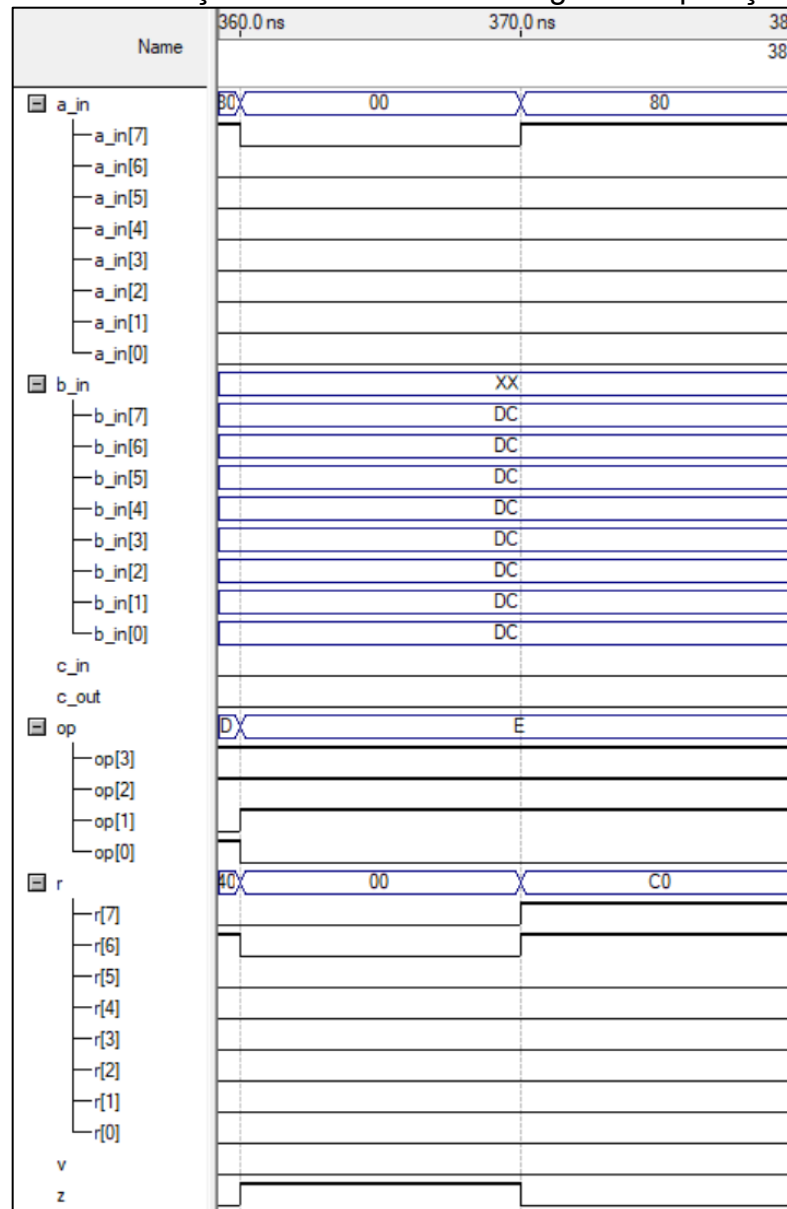
Quadro 18 - Casos de teste para SRA.

Tempo	Variáveis de Entrada			Resultados esperados nas variáveis de saída			
	a_in	b_in	c_in	r	c_out	z	v
360ns – 370ns	0x00	DC	DC	0x00	0	1	0
370ns – 380ns	0x80	DC	DC	0xC0	0	0	0

Fonte: Autoria própria (2025).

A Figura 19 mostra os resultados obtidos com os cenários de testes descritos no Quadro 18.

Figura 19 - Simulação em forma de onda digital da operação SRA.



Fonte: Autoria própria (2025).

Assim, foi analisado os resultados, valor das variáveis de saída, gerados pela simulação, o que ocasionou nos dados descritos na Tabela 15.

Tabela 15 - Resultados do teste da operação SRA.

Tempo	r (Hexadecimal)	c_out (Binário)	z (Binário)	v (Binário)
360ns – 370ns	0x00	0	1	0
370ns – 380ns	0xC0	0	0	0

Fonte: Autoria própria (2025).

Comparando os valores obtidos na simulação, listados na Tabela 15, e os valores esperados no cenário de teste, representado no Quadro 19, pode-se observar que dados são equivalentes, desse modo, pode-se afirmar que a execução da

operação SRA da ULA está correta. Por fim, para os casos de teste da operação PASS_B, variável “op” equivalendo a 1111, estão descritos no Quadro 19.

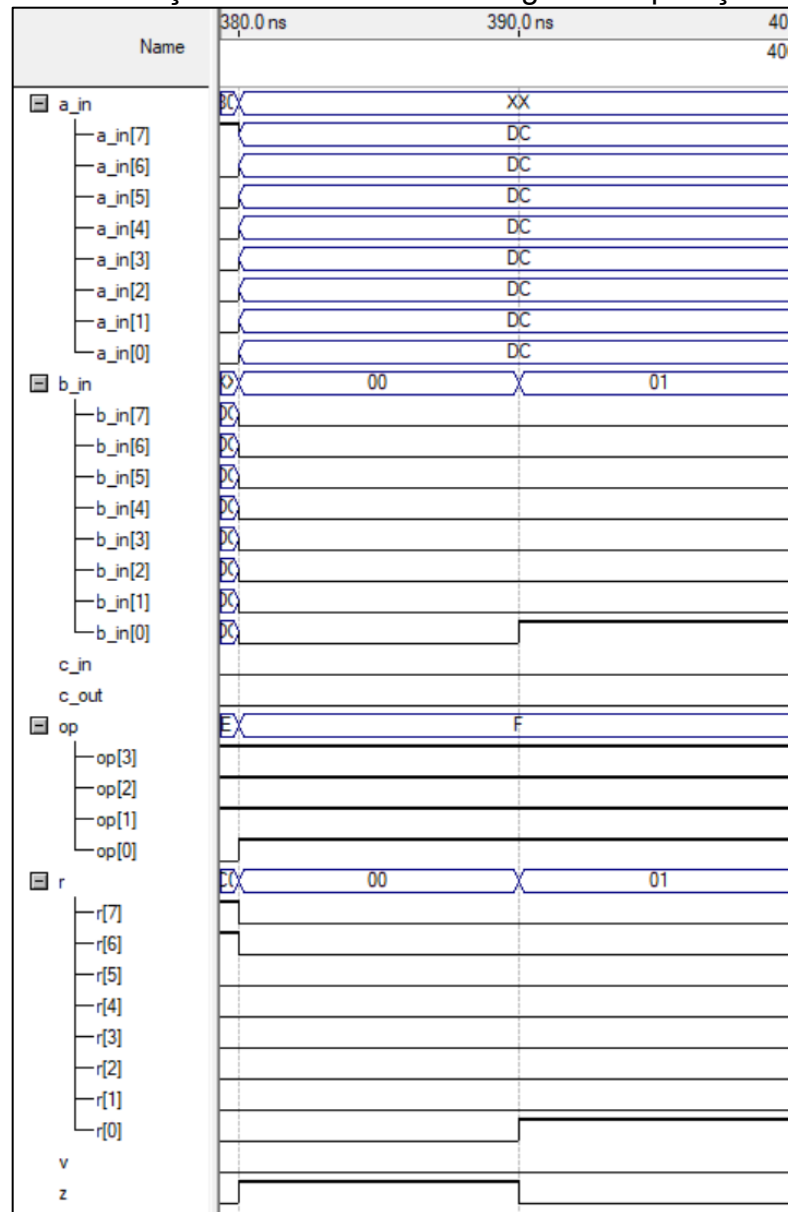
Quadro 19 - Casos de teste para PASS_B.

Tempo	Variáveis de Entrada			Resultados esperados nas variáveis de saída			
	a_in	b_in	c_in	r	c_out	z	v
380ns – 390ns	DC	0x00	DC	0x00	0	1	0
390ns – 400ns	DC	0x01	DC	0x01	0	0	0

Fonte: Autoria própria (2025).

A Figura 20 mostra os resultados obtidos com os cenários de testes descritos no Quadro 19.

Figura 20 - Simulação em forma de onda digital da operação PASS_B.



Fonte: Autoria própria (2025).

Assim, foi analisado os resultados, valor das variáveis de saída, gerados pela simulação, o que ocasionou nos dados descritos na Tabela 16.

Tabela 16 - Resultados do teste da operação PASS_B.

Tempo	r (Hexadecimal)	c_out (Binário)	z (Binário)	v (Binário)
380ns – 390ns	0x00	0	1	0
390ns – 400ns	0x01	0	0	0

Fonte: Autoria própria (2025).

Comparando os valores obtidos na simulação, listados na Tabela 16, e os valores esperados no cenário de teste, representado no Quadro 19, pode-se observar que dados são equivalentes, desse modo, pode-se afirmar que a execução da

operação PASS_B da ULA está correta. Assim, se finalizou a bateria de testes do projeto com sucesso.

3 CONSIDERAÇÕES FINAIS

A construção de uma ULA de 8 bits utilizando a linguagem VHDL representou uma oportunidade enriquecedora para aplicar, na prática, os conteúdos teóricos abordados na disciplina de Sistemas Reconfiguráveis. A opção por utilizar exclusivamente código concorrente contribuiu significativamente para o entendimento da lógica combinacional e do funcionamento de circuitos digitais.

Durante a implementação, foram desenvolvidas diversas estruturas em VHDL para representar as operações lógicas, aritméticas, de deslocamento e rotação que caracterizam o funcionamento de uma ULA. A definição clara das entradas, saídas e operações permitiu uma modelagem precisa e organizada do que representa o hardware.

Os resultados dos testes confirmaram que a ULA implementada apresenta o comportamento esperado, validando a fidelidade do projeto em relação ao seu propósito. A etapa de simulação mostrou-se essencial para garantir o funcionamento correto antes da síntese, reforçando a relevância da verificação lógica no desenvolvimento de sistemas digitais.

Em resumo, o projeto alcançou plenamente seus objetivos, tanto do ponto de vista técnico quanto educacional. Proporcionou uma experiência concreta com ferramentas profissionais de modelagem e de validação de hardware, ao mesmo tempo em que destacou a importância da simulação como uma etapa crítica no processo de desenvolvimento de circuitos digitais. Assim, a atividade contribuiu significativamente para a formação acadêmica, consolidando conhecimentos essenciais em sistemas digitais e reconfiguráveis, com aplicabilidade direta em contextos reais de engenharia.

REFERÊNCIAS

D'AMORE, Roberto. **VHDL**: descrição e síntese de circuitos digitais. Rio de Janeiro: LTC – Livros Técnicos e Científicos Editora, 2005. ISBN 978-85-216-1452-4.

HEXSEL, Roberto. **VHDL**: descrição e síntese de circuitos digitais. Curitiba: Departamento de Informática, Universidade Federal do Paraná, 2003. Disponível em: <<https://www.inf.ufpr.br/hexsel/ci210/vhdl.pdf>>. Acesso em: 29 abr. 2025.

INTEL. **Quartus Prime**: ferramentas de desenvolvimento FPGA. Disponível em: <<https://www.intel.com.br/content/www/br/pt/products/details/fpga/development-tools/quartus-prime.html>>. Acesso em: 29 abr. 2025.

UNIVERSIDADE DE SÃO PAULO. Escola Politécnica. Laboratório de Sistemas Digitais. **Unidade lógica e aritmética (ULA)**. Disponível em: <https://www2.pcs.usp.br/~labdig/pdffiles_2011/ula.pdf>. Acesso em: 29 abr. 2025.

UNIVERSIDADE ESTADUAL DE CAMPINAS. Faculdade de Engenharia Elétrica e de Computação. **Roteiro 3 – EA773**. Disponível em: <https://www.decom.fee.unicamp.br/~cardieri/MaterialEA773/EA773_2S2016_Roteiro3.pdf>. Acesso em: 29 abr. 2025.